

輻射捕獲過程の空間分布を考慮した 衝突輻射モデル

東京大学大学院工学系研究科

飯田 洋平, 門 信一郎, 鈴木 弘

鈴木 健二, 田中 知

研究背景①(Optical Escape Factorの必要性)

- He原子の線スペクトル強度比法への期待
 - 核融合境界層／ダイバータプラズマやダイバータ模擬装置で適用.
 - 発光分光で求めた励起密度分布を, ヘリウム原子の衝突輻射(CR)モデルと比較し, 電子温度/電子密度を得る.
 - 受動分光のため, 線積分値として解釈されることが多かった.
 - 今後は分布計測や画像計測への適用
- ダイバータ領域ではHe原子の密度が比較的高い($n_{\text{He}} > 10^{14} \text{cm}^{-3}$)
→ 輻射捕獲の効果を無視することが出来ない.
- Optical Escape Factor (OEF): Λ
 - 輻射捕獲によりアインシュタインのA係数が実効的に減少する.

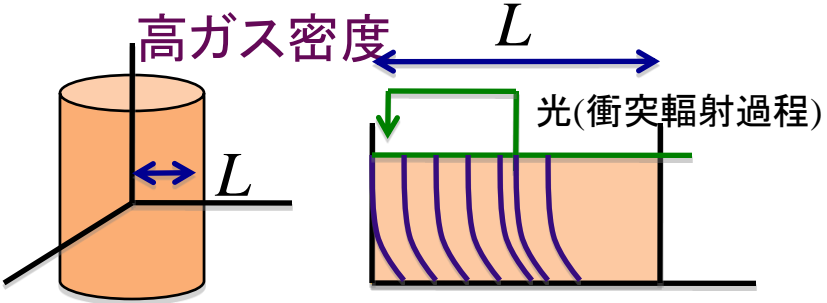
$\Lambda = \text{実効的A係数} / \text{真のA係数}$

 - 線スペクトル強度比法の分布計測や画像計測への適用には, 計測された任意の上準位分布に対するOEFの空間分布が必要.

研究背景②(OEFとCRモデルの関係)

光子の輸送プロセスが、発光位置(計測点)の励起密度分布に与える効果

OEF Λ
 $: A \rightarrow \Lambda A$



吸収過程 \propto 光子場の強さ

輝線強度比
 の計測: $n(p)$ 比

CRモデル
 $: n(p)$ 比

プラズマ形状, 大きさ(特性長)
 上(下)準位分布形状: $n_{q(p)}(R)$
 スペクトル形状: $P_{q(p)}(\Delta\lambda)$

比較
 フィッティング

自然放出過程
 電子衝突過程
 etc...

電子密度 n_e
 電子温度 T_e
 の導出

$$\hat{\tau}_{qp} \propto (f_{qp} \lambda_{qp}) \times \frac{n_p L}{T_g} \propto \frac{p_0 L}{T_g^{3/2}}$$

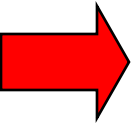
光学的厚さ τ :
 $\exp(-\tau)$: 体系外に漏れてくる光子の割合

研究背景③(既存研究と本研究の目的)

- OEFに関する既存研究:
 - 理論的研究[1-4]

	Holstein(1947)/Molisch(1992)	Fujimoto(1979)	Otsuka(1979)
上準位密度分布	正規直交関数系	0次ベッセル (放物型Like)	上準位と下準位の 比が空間一様
下準位密度分布	空間一様	空間一様	
式の形/適用範囲	近似式/全体	近似式/中心のみ	積分式/中心のみ

- 実験的研究 (線スペクトル強度比法への適用)
 - ダイバータ模擬装置を中心にFujimotoの式や, Otsukaの式を用いて実験的考察が進められている[5][6][7].
 - 但し, 周辺領域ではFujimotoの式やOtsukaの式を適用できない.



本研究の目的:
**任意の(対称型)上準位分布を持つプラズマの任意の位置における
 Optical Escape Factorの値を求める.**

[1] T.Holstein, Phys. Rev. **72**, 1212(1947) and **83**, 1159(1951), [2] A. F. Molisch *et.al.*, J. Quant. Spectrosc. Radiat. Transfer, **49**, 361(1993)
 [3] M.Otsuka *et.al.*, J. Quant. Spectrosc. Radiat. Transfer, **21**, 41 (1979), [4] T. Fujimoto, J. Quant. Spectrosc. Radiat. Transfer, **21**, 439(1979)
 [5] Y. Iida *et.al.*, J. Plasma Fusion Res. SERIES, **14**, 123(2006), [6] S. Kajita, *et.al.*, Phys. Plasmas, **13**, 013301(2006)
 [7] D. Nishijima, *et.al.*, Plasma Phys. Control. Fusion **49**, 791(2007).

Optical Escape Factorの由来

• 輻射捕獲を含まないレート方程式

$$\frac{dn_p}{dt} = - \left\{ \sum_{q \neq p} C_{pq} n_e + S_p n_e + \sum_{q < p} A_{pq} \right\} n_p \quad : \text{流出項}$$

$$+ \left\{ \sum_{q \neq p} C_{qp} n_e n_q + \sum_{q > p} A_{qp} n_q \right\} + \left\{ \alpha_p n_e + \beta_p + \beta_{dp} \right\} n_i n_e \quad : \text{流入項}$$

C:電子衝突(脱)励起
 S:電子衝突電離
 A:自然放出
 B:吸収/誘導放出
 α :三体再結合
 β :放射再結合
 β_d :二電子性再結合
 I:放射エネルギー密度

• 輻射捕獲を含むレート方程式

$$\frac{dn_p}{dt} = - \left\{ \sum_{q \neq p} C_{pq} n_e + S_p n_e + \sum_{q < p} A_{pq} + \sum_{q > p} B_{pq} I + \sum_{q < p} B_{pq} I \right\} n_p$$

$$+ \left\{ \sum_{q \neq p} C_{qp} n_e n_q + \sum_{q > p} A_{qp} n_q + \sum_{q < p} B_{qp} n_q I + \sum_{q > p} B_{qp} n_q I \right\} + \left\{ \alpha_p n_e + \beta_p + \beta_{dp} \right\} n_i n_e$$

$$= - \left[\sum_{q \neq p} C_{pq} n_e + S_p n_e + \sum_{q < p} \left\{ A_{pq} - \left(B_{qp} \frac{n_q}{n_p} - B_{pq} \right) I \right\} \right] n_p$$

$$+ \left[\sum_{q \neq p} C_{qp} n_e n_q + \sum_{q > p} \left\{ A_{qp} - \left(B_{pq} \frac{n_p}{n_q} - B_{qp} \right) I \right\} n_q \right] + \left\{ \alpha_p n_e + \beta_p + \beta_{dp} \right\} n_i n_e$$

A_{qp} (置き換え)

$$\rightarrow A_{qp} - \left(B_{pq} \frac{n_p(r)}{n_q(r)} - B_{qp} \right) I_{qp}(r)$$

計算の概要(仮定と必要パラメータ)

• OEFの定義式

$$\Lambda_{qp}(r)A_{qp} = A_{qp} - \left(B_{pq} \frac{n_p(r)}{n_q(r)} - B_{qp} \right) I_{qp}(r)$$

$n_p(r)$: 下準位密度分布, $n_q(r)$: 上準位密度分布
 $I_{qp}(r)$: 分光放射エネルギー密度 [$\text{W} \cdot \text{m}^{-3} \cdot \text{Hz}^{-1}$]

• Iの計算手順

1. 一次元の輻射輸送方程式
2. 解を全立体角で積分
3. 振動数(波長)で積分
(発光/吸収スペクトルに
振動数依存性)
=四重積分(空間x3, 振動数x1)
(※下準位密度空間一様の場合)

• Iの計算上の仮定

- 系外からの入射光なし
- 上/下準位の温度共に空間一様
- 下準位密度空間一様(低電離)
- 上準位密度 \ll 下準位密度
(誘導放出項は無視)

• 必要なパラメータ

- プラズマの形状と大きさ
球形, **円筒形**, 平行平板形, , ,
特性長(大きさ)
- **スペクトル形状**
ガウス型, ローレンツ型, , ,
上/下準位の温度比
- **上準位密度分布(相対値)**
任意の(点・軸・面)対称形状
- **下準位密度(絶対値)**

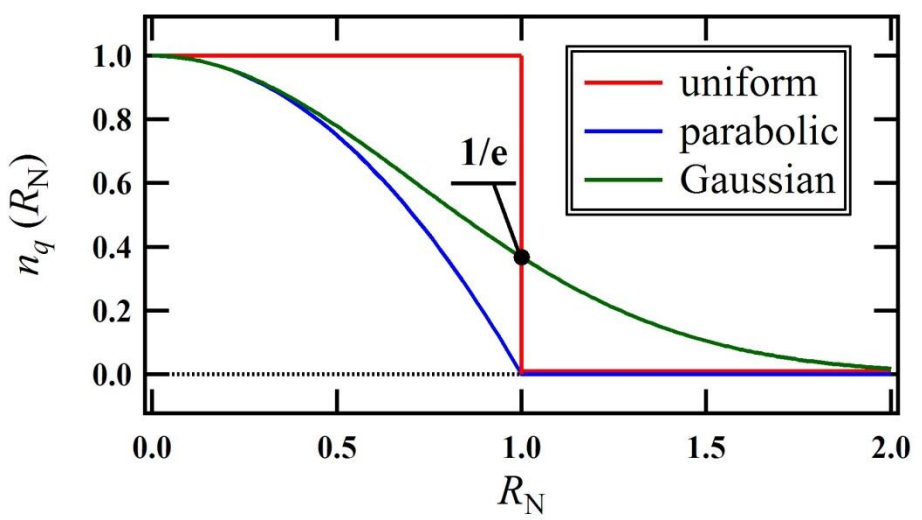
上準位分布形状と特性長について

• テスト分布関数: $n_q(R_N)$

$$\text{uniform : } n_q(R_N) = \begin{cases} 1 & (R_N < 1) \\ 0 & (R_N > 1) \end{cases}$$

$$\text{parabolic : } n_q(R_N) = \begin{cases} 1 - R_N^2 & (R_N < 1) \\ 0 & (R_N > 1) \end{cases}$$

$$\text{Gaussian : } n_q(R_N) = \exp(-R_N^2)$$



• 特性長 L (分布の幅)

– 上準位分布形状毎に
計算者が適当に決定.

– 本研究では,
uniformと**parabolic**プロファイルでは,

→ 中心～分布関数がゼロ
になる位置までの長さ

Gaussianプロファイルでは,

→ 中心～分布関数が1/e
になる位置までの長さ

OEFの表式(無限長円筒形, ガウス型スペクトル)

- 任意の軸対称型上準位分布, 任意の位置におけるOEFの表式

$$\Lambda(R_N, \tau) = 1 - \frac{2}{\pi\sqrt{\pi}} \frac{\tau}{n_q(R_N)} \int_0^\pi d\varphi \int_0^{\pi/2} d\theta \int_0^\infty dx \exp\left[-\left(1 + \frac{T_q}{T_p}\right)x^2\right] \\ \times \int_0^{r_N} dr_N' \left[n_q(R_N') \exp\left[-\frac{\tau \cdot r_N}{\sin\theta} \exp\left(-\frac{T_q}{T_p}x^2\right)\right] \right]$$

但し, $\tau = k_{pq0}L = \frac{e^2}{4m_e c \epsilon_0} f_{pq} \lambda_{qp} \sqrt{\frac{M}{2\pi k T_p}} \times n_p L$

$$r_{Nj} = \sqrt{K^2 - R_N^2 \sin^2 \varphi} - R_N \cos \varphi, (K \text{はモデル境界})$$

$$R_N' = \sqrt{R_N^2 + r_N^2 + 2R_N r_N \cos \varphi}$$

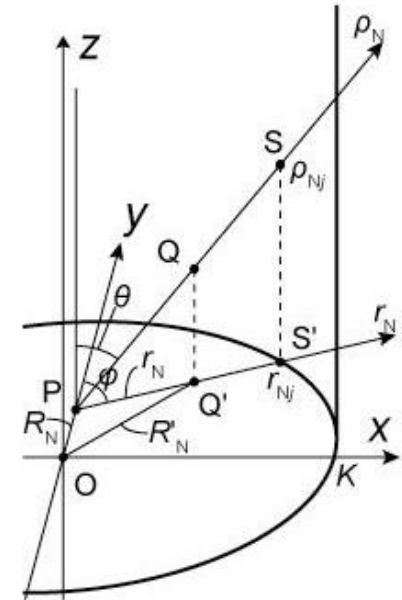
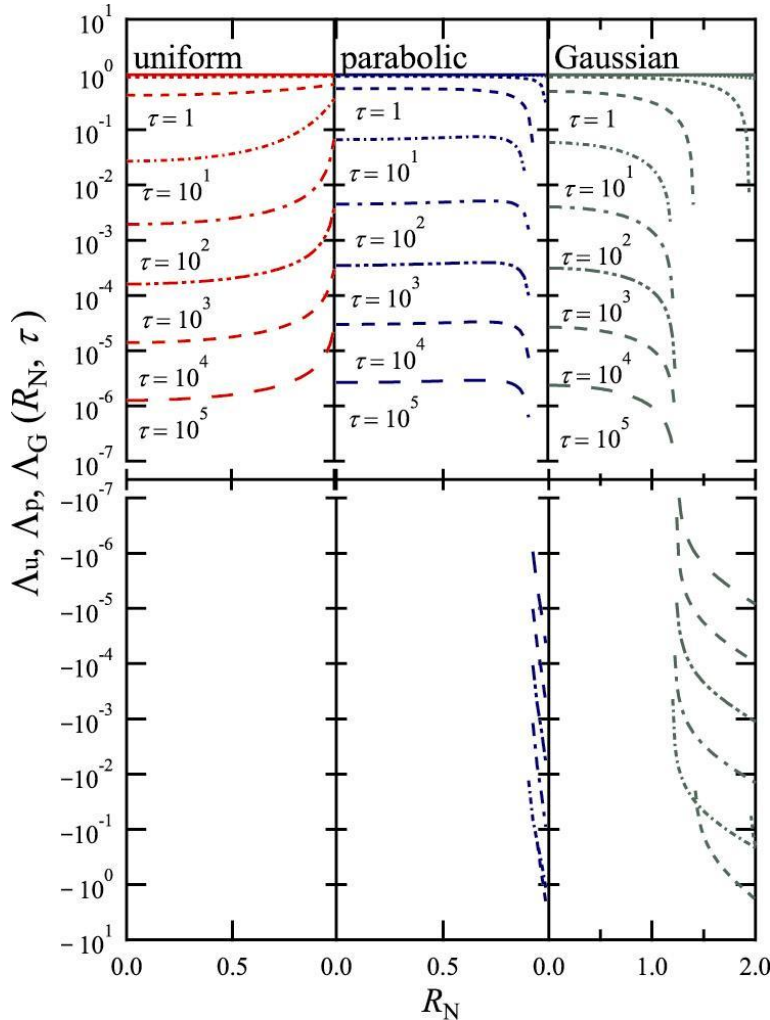


図. 円筒プラズマにおける座標系

- OEFは上準位の分布形状($n_q(R_N)$), Optical Depth(τ), 規格化半径位置(R_N), 上/下準位温度比(T_q/T_p)の関数.
- $n_q(R_N)$ (上準位密度分布)は, 相対値のみ分かれば十分

計算結果①(各上準位分布での空間分布)

• OEFの空間分布



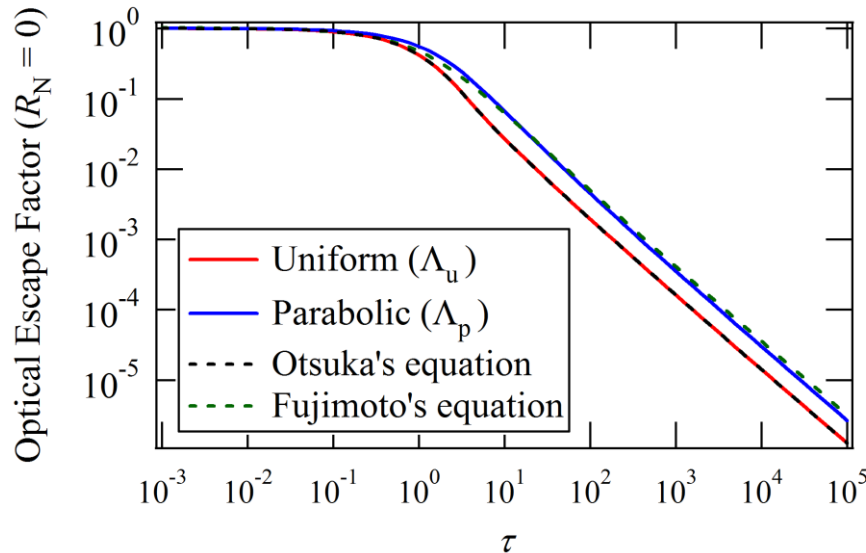
- Uniform, Parabolic, Gaussian の各上準位分布に対するOEFの空間分布が得られた.

→任意の位置において輻射捕獲を考慮したCRモデルの計算が可能.

- 周辺部では, 負の値を取ることがある.
(中心部が強い光源として働く為, 発光量<吸収量)

計算結果②(既存モデルとの比較検証)

- 各上準位分布毎の円筒中心軸上におけるOEF



- Uniform: Λ_u ...Otsukaの式と等価.

→上準位分布と空間位置に関して,
Otsukaの式の一般化となっている.

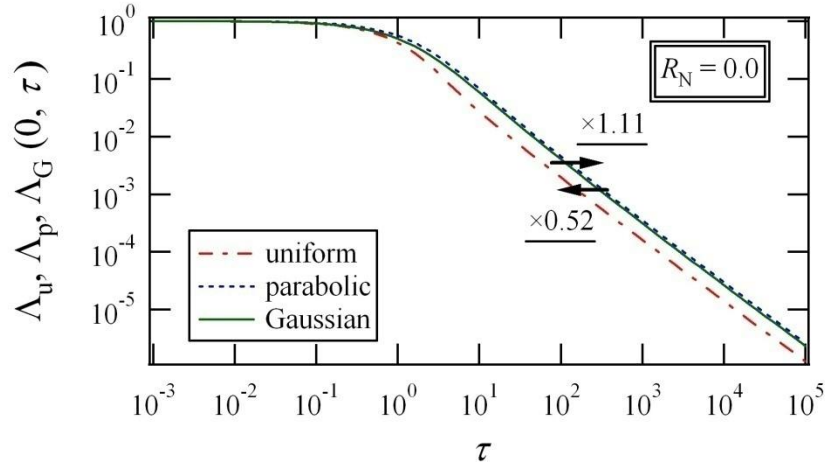
$$\Lambda(R_N = 0) = \frac{2}{\pi} \int_0^\infty dx \int_0^1 dt \exp \left[-x^2 - \frac{\hat{\tau}}{t} \exp(-x^2) \right]$$

- Parabolic: Λ_p ...Fujimotoの式と20%以内で一致.

$$\Lambda(R_N = 0) = \frac{1.92 - 1.3 / (1 + \tau^{1.2})}{(\tau + 0.62) [\pi \ln(1.357 + \tau)]^{1/2}}$$

計算結果③(3上準位分布間の対応関係)

3つのテスト関数間の特性長Lの関係



– 平行移動によりほぼ重なる

→適切な特性長Lを取る事で可能

$$\Lambda_G(\tau) \sim \Lambda_u(0.52\tau) \text{ (誤差33\%以内)}$$

$$\Lambda_G(\tau) \sim \Lambda_p(1.11\tau) \text{ (誤差8\%以内)}$$

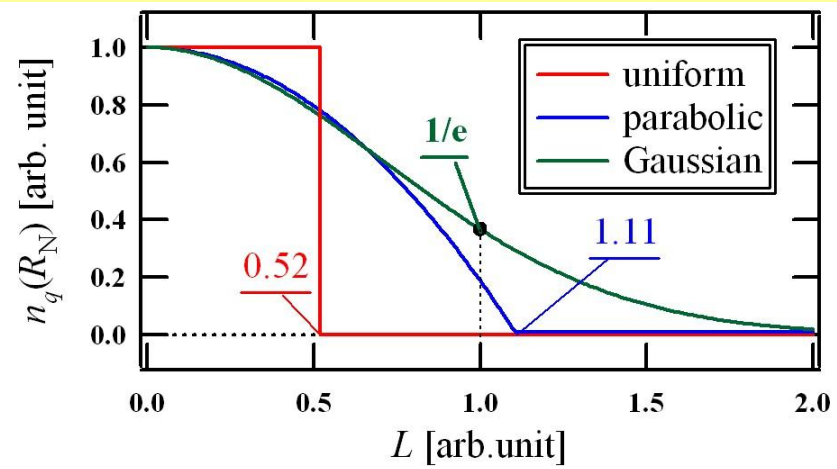
中心軸上で同じOEFの値を与える上準位プロファイル

$$\text{Uniform: } n_q(R_N) = \begin{cases} 1 & (R_N < 0.52) \\ 0 & (R_N > 0.52) \end{cases}$$

Parabolic :

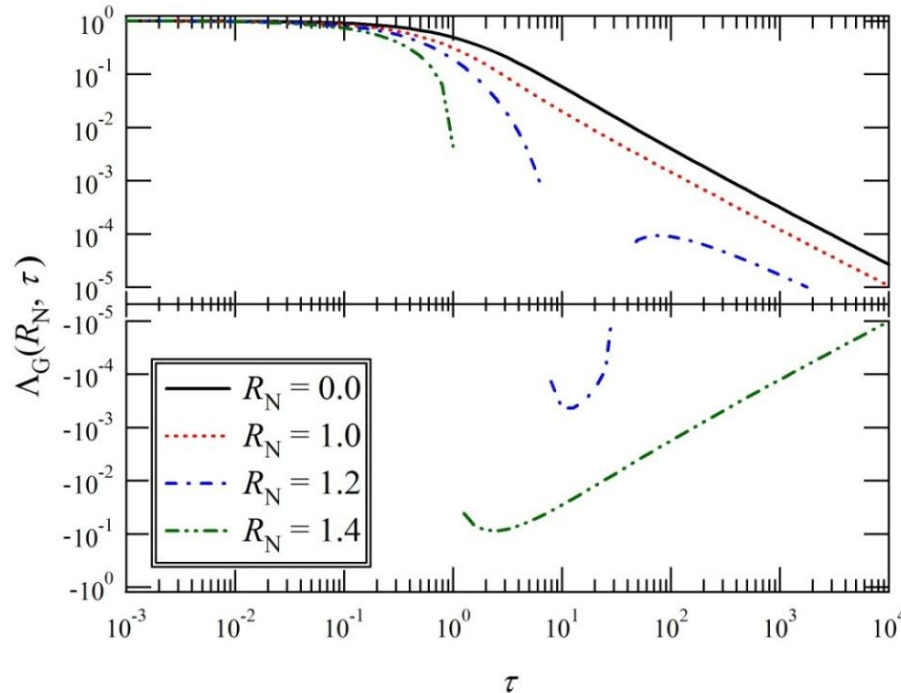
$$n_q(R_N) = \begin{cases} 1 - (R_N / 1.11)^2 & (R_N < 1.11) \\ 0 & (R_N > 1.11) \end{cases}$$

$$\text{Gaussian: } n_q(R_N) = \exp(-(R_N / 1)^2)$$



計算結果④(OEFの τ 依存性@周辺部)

- 各位置のOEFの τ 依存性(上準位:Gaussian)



$-R_N < 1 \dots R_N = 0$ とほぼ同じ依存性 (既存の式とほぼ同じ依存性)

→ 適切な特性長を取れば既存の式で代用可能.

$-R_N > 1 \dots$ 既存の式と大きく異なる依存性.

→ 本研究で導いた式が必要.

結論

- 任意の(対称型)上準位分布におけるOptical Escape Factor(OEF)の空間分布を求める積分式の導出し, その数値的計算を行った(Otsukaの式の一般化).
- 上準位密度分布がガウス型のプラズマの周辺部では, OEFのOptical Depth(τ)への依存性が中心と大きく異なり, 既存の式で代用できないことが示唆された.

今後の予定

- 任意の上準位分布に対するOEFの計算式をHe IのCRモデルに組み込み, 線スペクトル強度比法の分布計測への適用を試みる.
特に,
 - A係数を単純に置き換えてよいか? 周辺部では置き換えることは自明ではなくなるかも?
 - ガウス分布に対する簡易的な経験式の導出.

パラメータの整理 (Optical Depthと変数の規格化)

• Optical Depth: τ

$$\tau = \int_0^L k_{pq}(\rho) d\rho$$

(下準位一様の場合)

$$\left(\begin{aligned} &= k_{pq0} L \\ &= \frac{e^2}{4m_e c \epsilon_0} f_{pq} \lambda_{qp} \sqrt{\frac{M}{2\pi\kappa T_p}} \cdot n_p L \end{aligned} \right)$$

k'_{ik0} : 吸収係数 [m^{-1}], f_{pq} : 吸収振動子強度
 λ_{qp} : 中心波長 [m], M : 原子の質量 [kg]

– 物理的意味

- $\exp(-\tau)$: スペクトル中心の光子が距離 L を吸収されずに進む確率.
- $\tau \gg 1$: 光学的に厚い
- $\tau \ll 1$: 光学的に薄い

• 半径の規格化

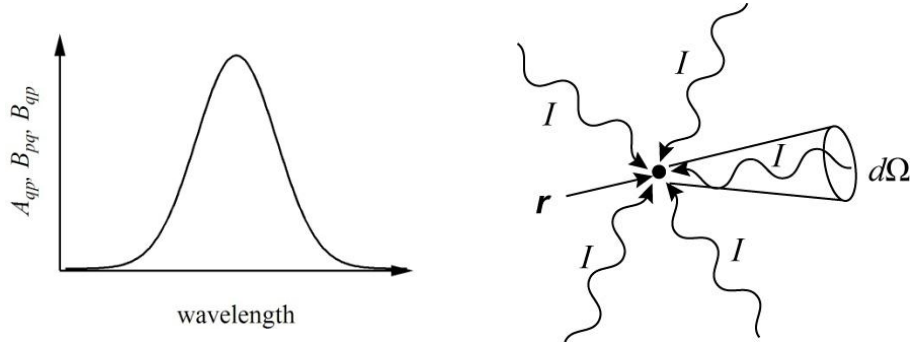
プラズマの特性長 L で規格化

$$R \rightarrow R_N = R/L$$

• 波長の規格化

スペクトル中心波長で規格化

$$\lambda \rightarrow x = (\lambda - \lambda_{qp}) / \lambda_{qp}$$



フィッティング式 (上準位がGaussianの場合)

$$\Lambda_G(R_N, \tau) = \min \left(1, a_0 \frac{a_1 - \frac{a_2}{1 + (a_3 \tau)^{a_4}}}{(a_3 \tau + a_5) \times (\pi \ln(a_6 + a_3 \tau))^{a_7}} \right) \times (1 + p_2(\tau) R_N^2 + p_4(\tau) R_N^4 + p_6(\tau) R_N^6 + p_8(\tau) R_N^8)$$

$$p_2(\tau) = \frac{b_0}{1 + \exp(-b_1 \times (x - b_2))} \times \left(1 - \frac{b_3}{1 + \exp(-b_4 \times (x - b_5))} \right)$$

$$p_4(\tau) = \frac{c_0}{1 + \exp(-c_1 \times (x - c_2))} \times \left(1 - \frac{c_3}{1 + \exp(-c_4 \times (x - c_5))} \right) \times \left(1 - \frac{c_6}{1 + \exp(-c_7 \times (x - c_8))} \right)$$

$$p_6(\tau) = \frac{d_0}{1 + \exp(-d_1 \times (x - d_2))} \times \left(1 - \frac{d_3}{1 + \exp(-d_4 \times (x - d_5))} \right) \times \left(1 - \frac{d_6}{1 + \exp(-d_7 \times (x - d_8))} \right)$$

$$p_8(\tau) = \frac{e_0}{1 + \exp(-e_1 \times (x - e_2))} \times \left(1 - \frac{e_3}{1 + \exp(-e_4 \times (x - e_5))} \right) \times \left(1 - \frac{e_6}{1 + \exp(-e_7 \times (x - e_8))} \right)$$

$$a_i = \{1.44207, 1.9913, 1.27723, 1.23408, 1.30416, 0.624882, 1.96663, 0.646301\}$$

$$b_i = \{-1, 2.7284, 0.262559, 0.488443, 1.18894, 0.188082\}$$

$$c_i = \{-0.24, 2.25506, -0.320862, 0.8, 3.26183, 0.304947, 0.236734, 0.947825, 0.0352149\}$$

$$d_i = \{0.05, 2.32589, -0.624264, 0.9, 5.31904, 0.0617265, 0.148792, 1.02698, 0.703395\}$$

$$e_i = \{-0.024, 2.25563, -0.440887, 0.8, 4.38547, 0.138581, 0.112333, 0.998067, 1.15421\}$$

フィッティング式と積分結果の比較

